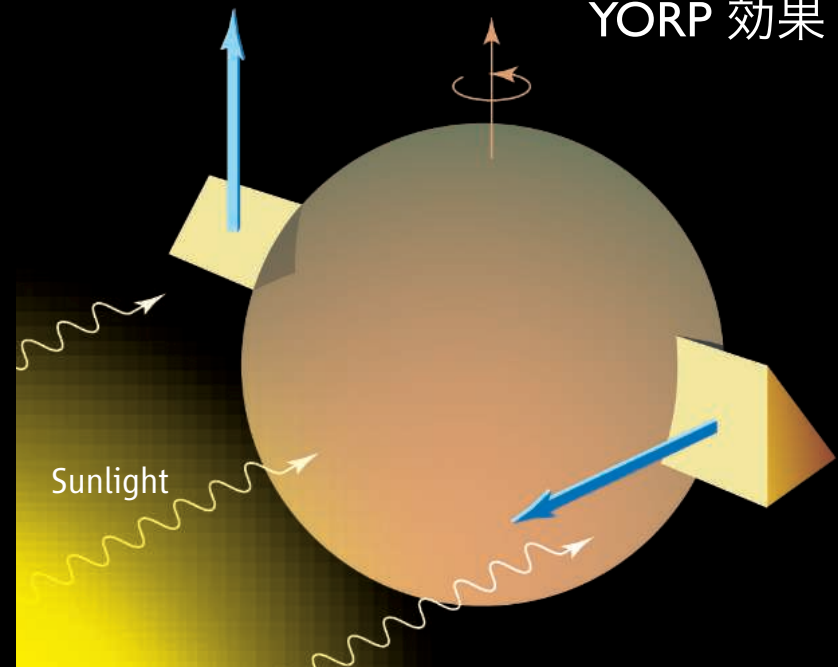


# 地上観測によって検出された小惑星イトカワのYORP効果

北里 宏平<sup>1,2</sup>, 安部 正真<sup>2</sup>

<sup>1</sup> 東京大学大学院 理学系研究科 地球惑星科学

<sup>2</sup> 宇宙航空研究開発機構 宇宙科学研究所本部



YORP効果 (Yarkovsky-O'Keefe-Raszievskii-Paddack)

太陽輻射圧と熱放射の不均衡によって  
回転トルクが発生する効果  
→ 自転の加速・減速機構 「風車効果」

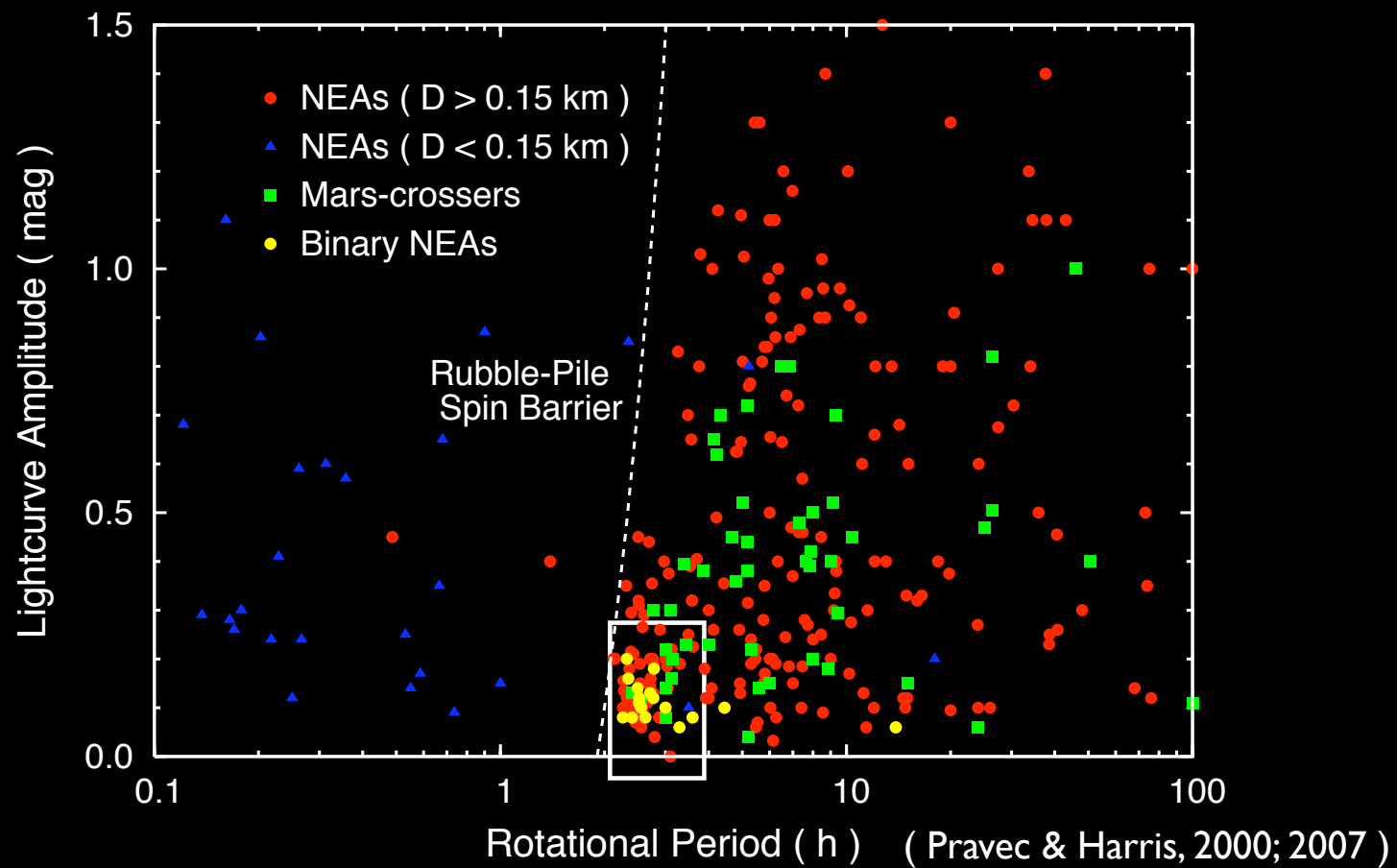
YORPトルクの向き  
→ 形状, 自転軸

YORPトルクの大きさ  
→ 日心距離, 質量, アルベド

( Rubincam & Paddack, 2007 )

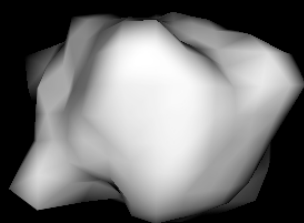
# YORP 効果の重要性

- 族小惑星の角運動量分布における二次的影響
- 連星系小惑星の形成を促すスピナップ効果



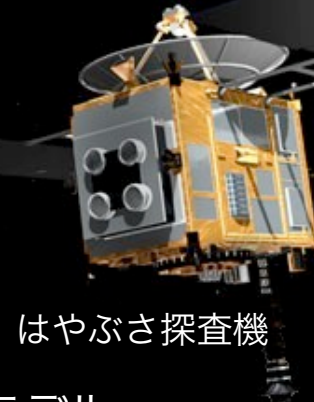
## YORP 効果の検出例

- 今年2月に小惑星YORP効果の検出成功が二例報告

小惑星	1862 Apollo	54509 2000 PH <sub>5</sub>
サイズ	1.4 km	0.11 km
自転周期	3.1 hours	12.2 min
形状 モデル		
観測期間	1980 - 2005	2001 - 2005
自転加速度	$7.1 \times 10^{-18} \text{ rad s}^{-2}$	$4.7 \times 10^{-16} \text{ rad s}^{-2}$
Ref.	Kaasalainen et al. (2007) Nature	Lowry et al. (2007) Science

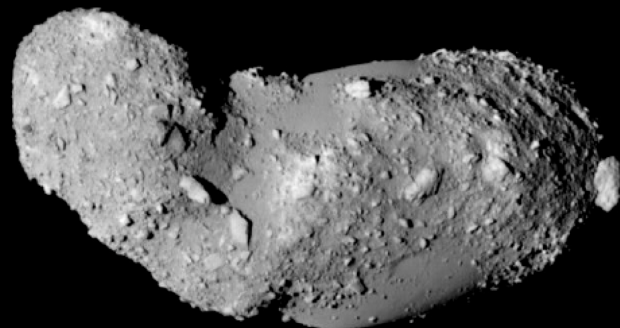
# 研究目的

「はやぶさ」の探査天体  
近地球型小惑星イトカワのYORP効果の検出

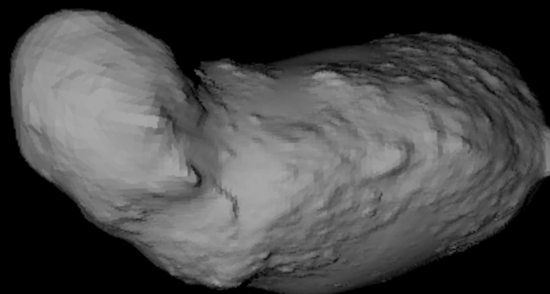


はやぶさ探査機

実画像



形状モデル



## 近地球型小惑星 25143 イトカワ

サイズ : 535 m × 294 m × 209 m

自転周期 : 12.13237 hours

自転軸 :  $(\beta, \lambda) = (266.02^\circ, -89.53^\circ)$

バルク密度 :  $1.9 \pm 0.13 \text{ g/cm}^3$

(Fujiwara et al., 2006, Science )

# 研究方針

## 問題

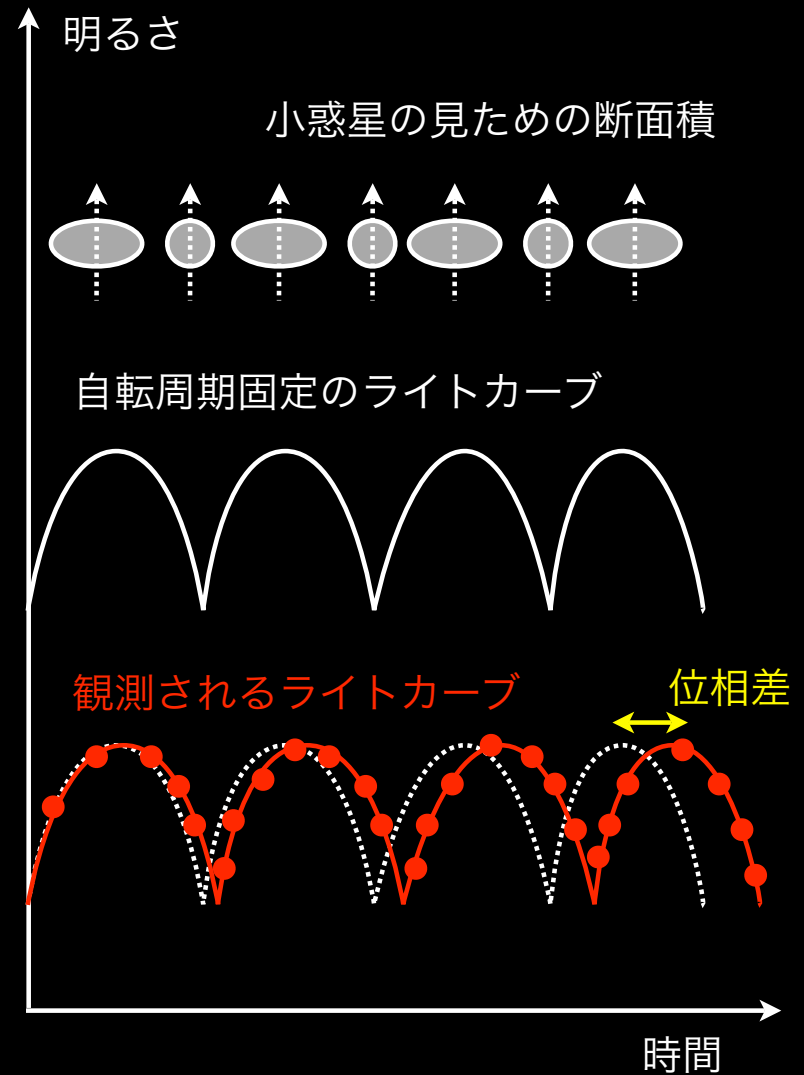
- ・イトカワの長い自転周期 (12 h)
- ・YORP 効果による自転周期の変化が微小

▶ 自転周期そのものの変化を  
検出することは困難

## 方法

- ・イトカワの形状モデルを用いた固定の  
自転周期から推定されるライトカーブ
- ・地上観測から得られるライトカーブ

▶ 自転周期が変化していれば  
自転の位相差が検出される

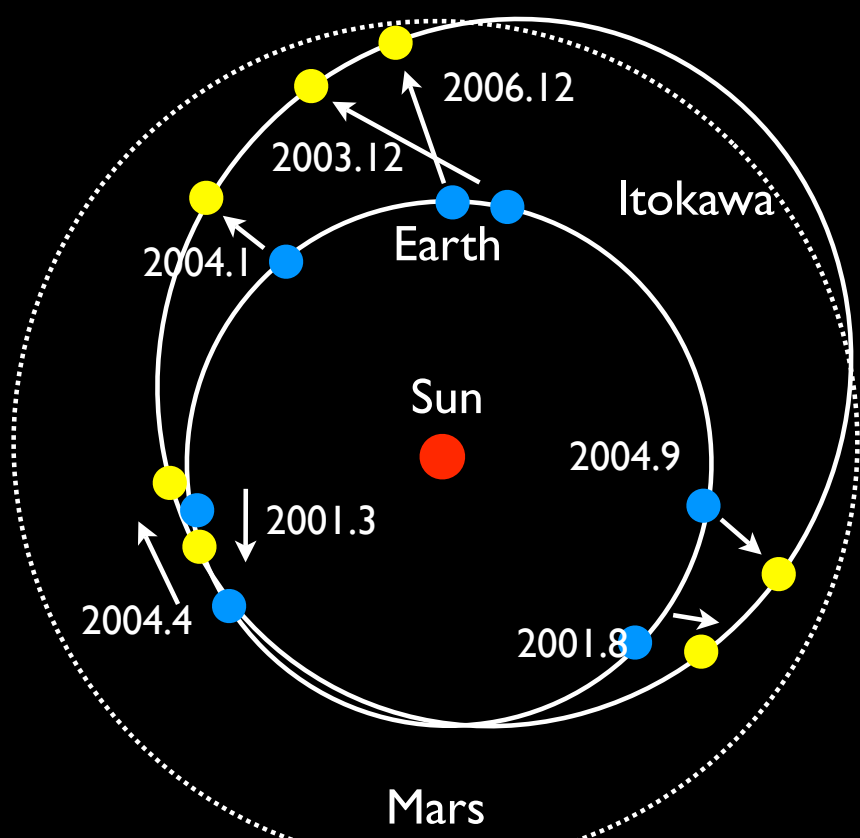


# 小惑星イトカワの地上観測

観測期間：2001-Mar-26 ~ 2006-Dec-22  
( 7 シーズン, 27 夜 )

見かけの等級：14.3 ~ 20.7 ( mag )  
太陽位相角：7 ~ 88 ( deg )

望遠鏡：東京大学木曽観測所 ( 1.05-m )  
台湾中央大学鹿林観測所 ( 1.05-m )  
ハワイ大学マウナケア ( 2.2-m )  
フィルター：R ( 中心波長：650 nm )



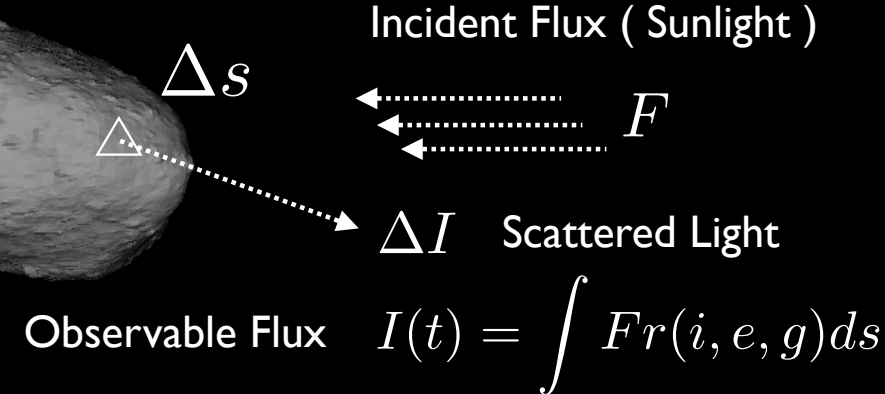
## 解析手順

1. 画像の一次処理  
( ダーク, フラット補正 )
2. 星像の検出, 位置座標の決定
3. 小惑星, 比較星の測光  
( IRAF / apphot )
4. 明るさ, 時間補正処理
  - 大気吸収
  - カラー変換
  - 日心, 地心距離
  - 太陽位相角
  - 光到達時間

# ライトカーブの数値シミュレーション



( 25143 ) Itokawa



形状モデル : Gaskell Shape Model 49,152 facets

--- Gaskell et al. (2006)

自転軸 :  $(\beta, \lambda) = (266.02^\circ, -89.53^\circ)$

--- Gaskell et al. (2006)

自転原点 : 2005年9-11月で決定 ( 精度 : < 0.001 deg )

--- Gaskell et al. (2006)

自転周期 : 12.13237 hours

--- Kaasalainen et al. (2003)

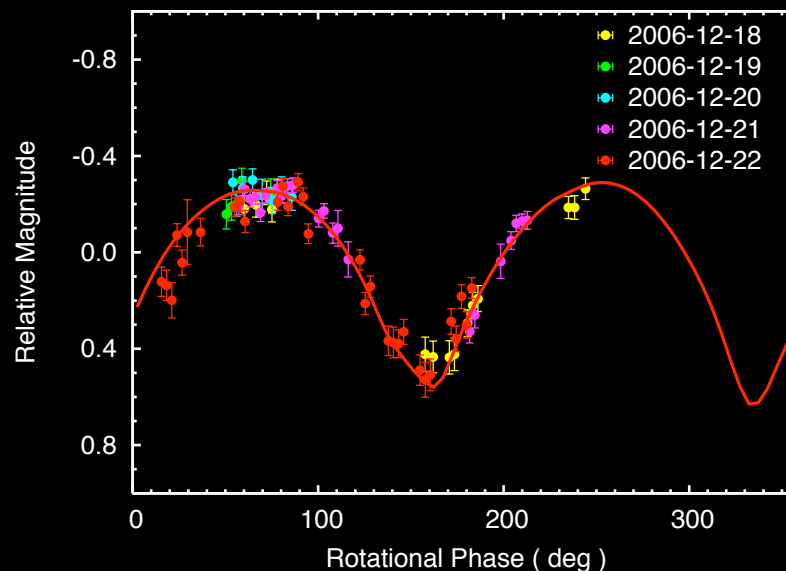
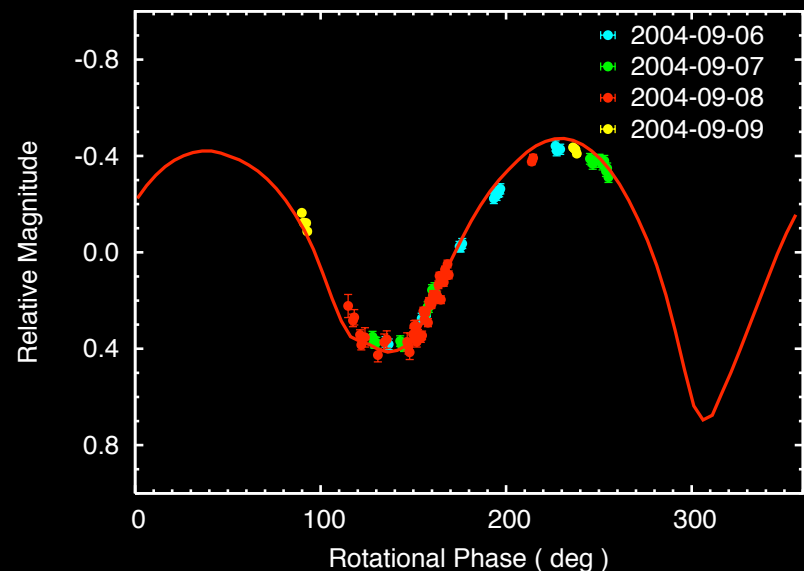
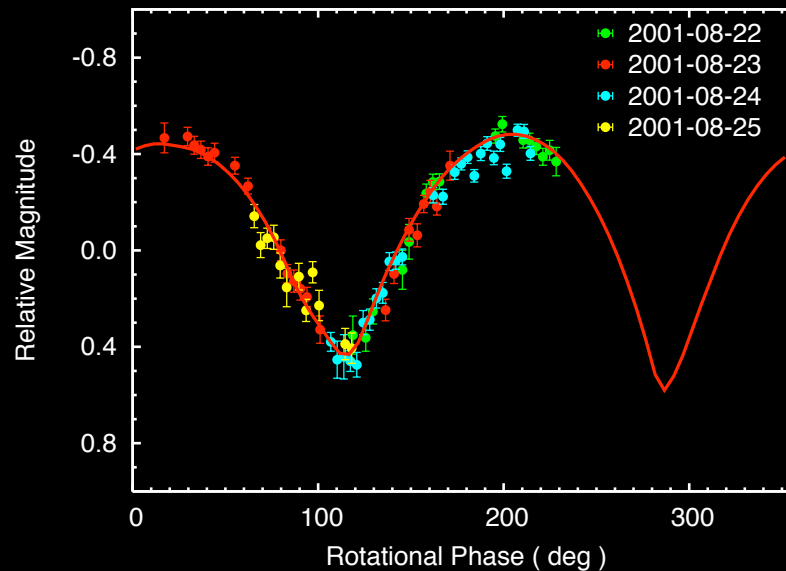
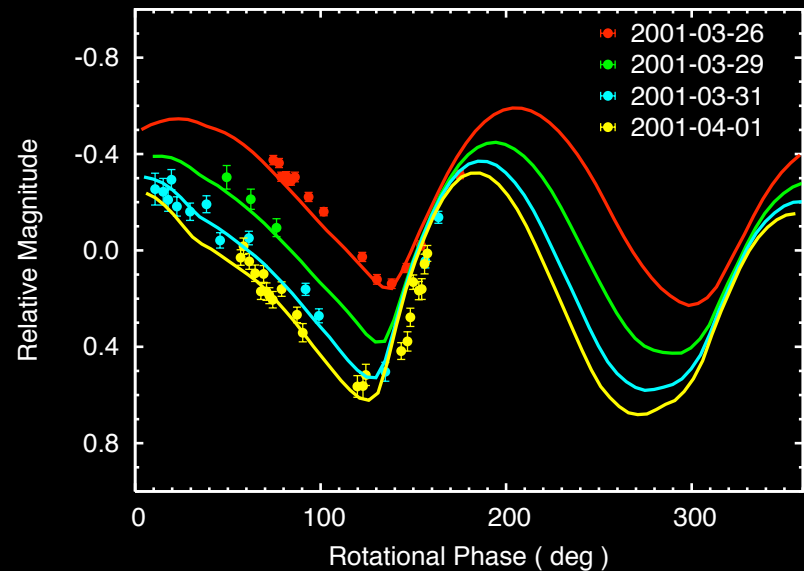
光散乱特性 : Hapke's bidirectional reflectance model

--- Hapke (1993, 2002)

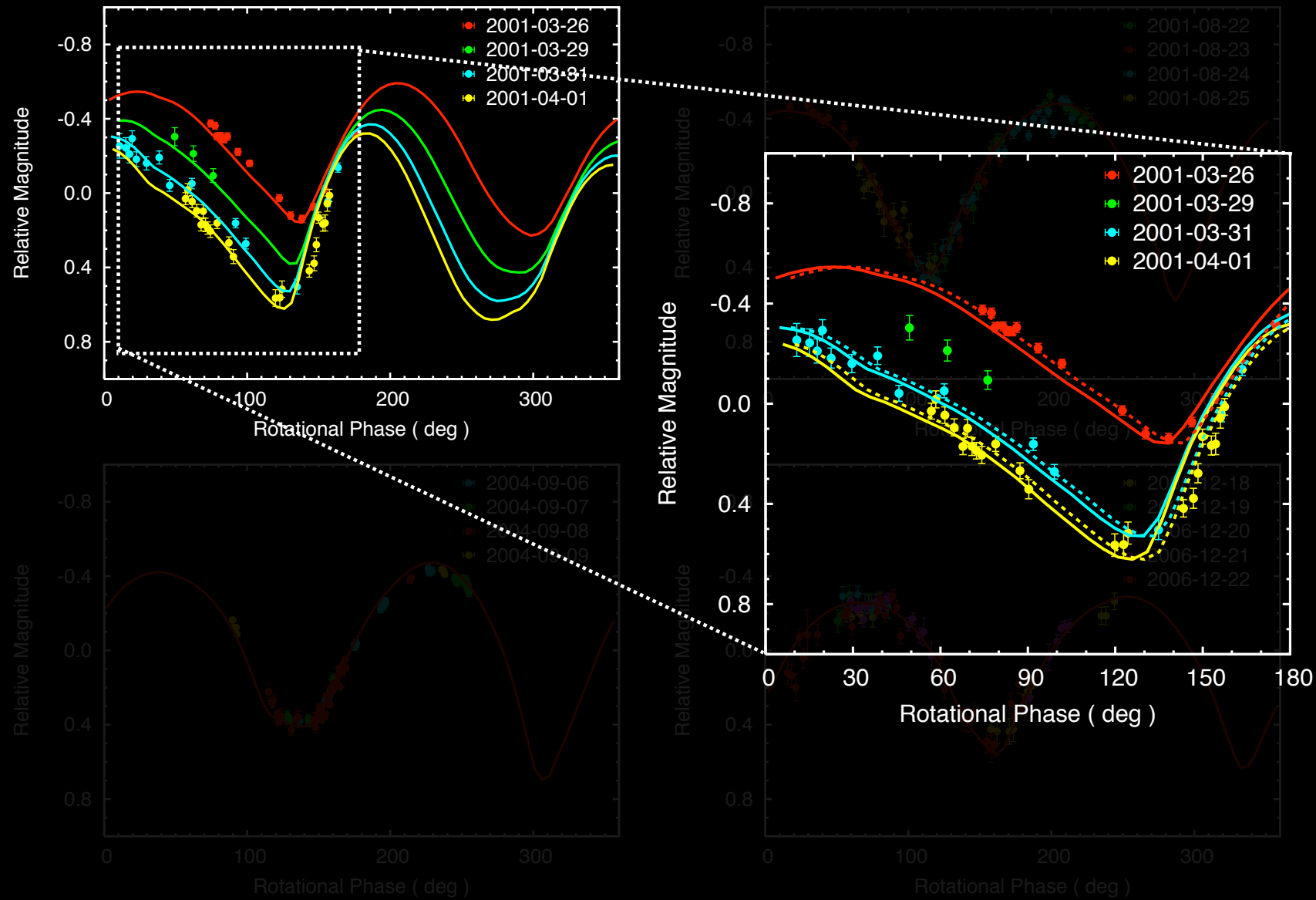
$\omega(0.40), g(-0.35), B_0(0.89), h(0.01), \bar{\theta}(26^\circ)$  --- Kitazato et al. (2007)

影の効果 : Ray-Tracing Method ( 二次散乱光は無視 )

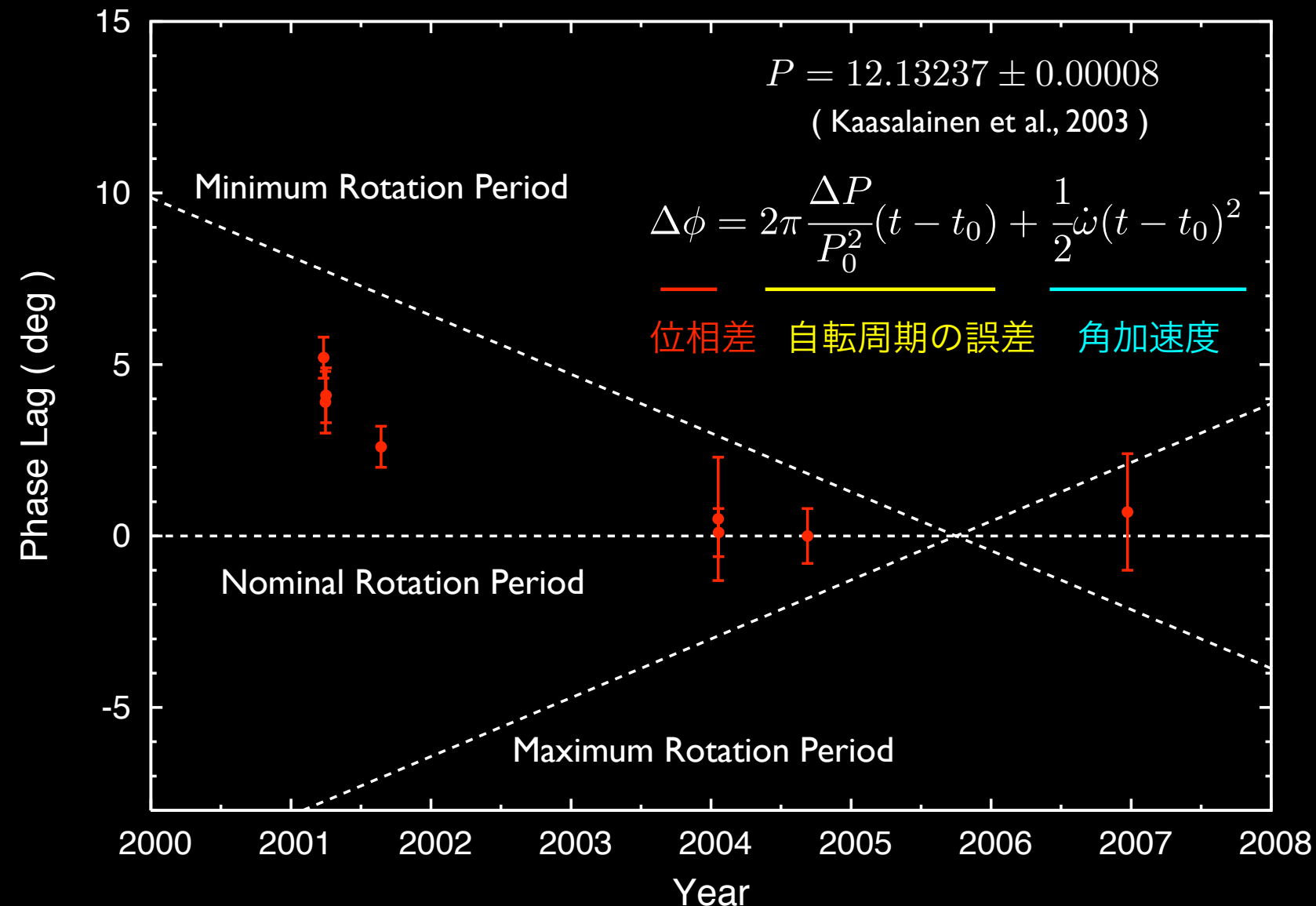
# 小惑星イトカワのライトカーブ



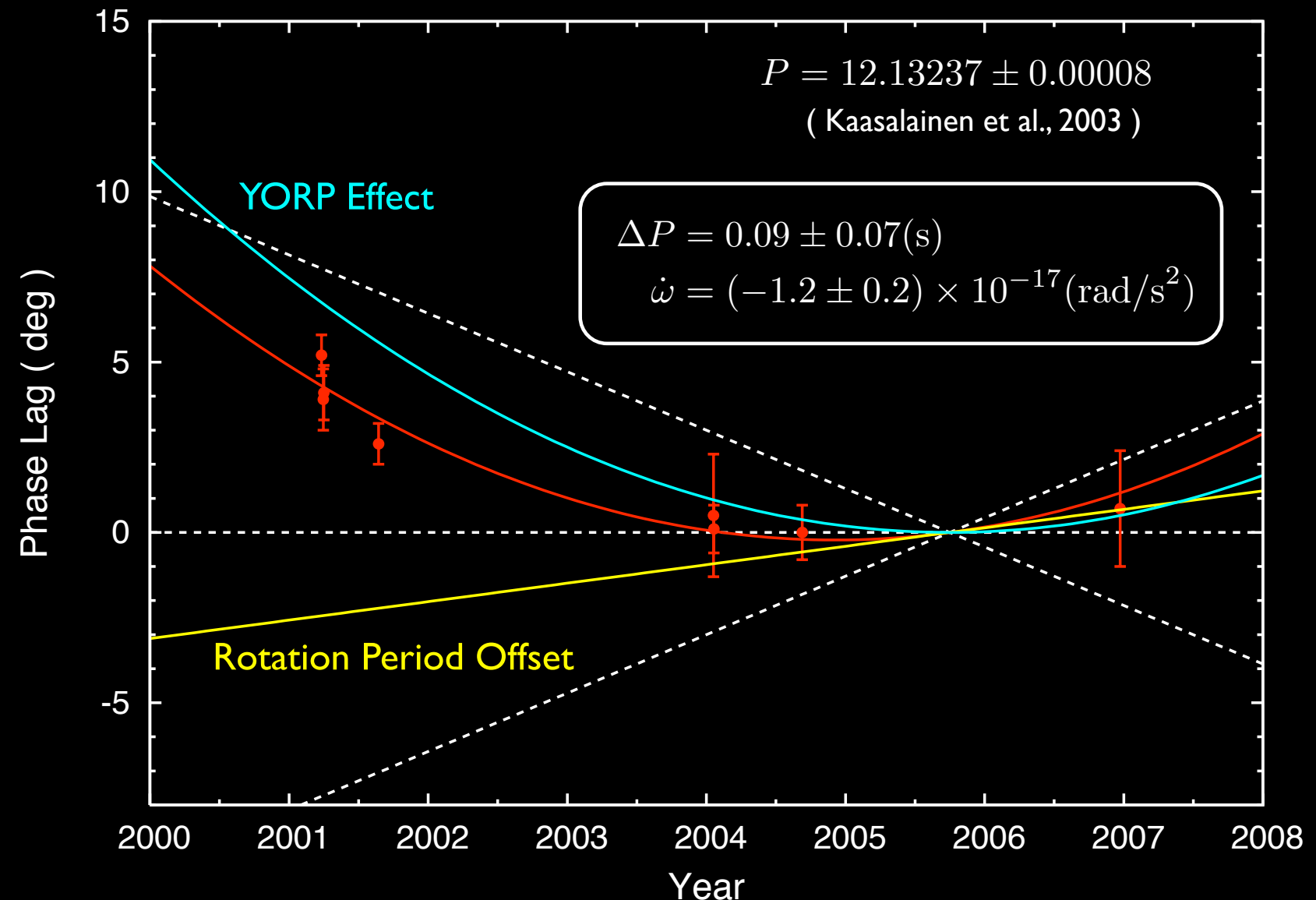
# 小惑星イトカワのライトカーブ



## ライトカーブの位相差



## ライトカーブの位相差



# YORP 効果の比較

Object	Normalized Acceleration Rate ( $10^{-18}$ rad s $^{-2}$ )	Ref.
Itokawa (obs)	-2.2	This work
Itokawa (model)	-8.2 ~ -4.6	Scheeres et al. (2007)
Apollo	30	Kaasalainen et al. (2007)
2000 PH <sub>5</sub>	6.2	Lowry et al. (2007)

## 過去のイトカワの自転

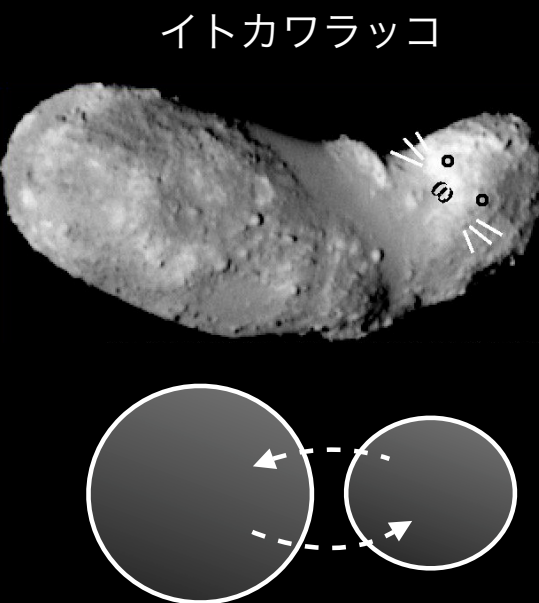
- ・コンタクトバイナリ的形状（ラッコ型？）

頭部と胴体が分離する自転周期

$P < 6.5$ (hours) (Scheeres, 2006)

YORP 効果で進化するタイムスケール

0.4 Ma < NEA のライフタイム (10 Myr)



## まとめ

- 小惑星イトカワのライトカーブ観測とモデル計算の比較から YORP 効果による自転周期の変化を検出することに成功
- 検出されたイトカワのYORP効果は理論的予想とほぼ一致  
(減速する傾向は同じだが、値がやや小さい)
- YORP効果が検出された小惑星の中では最も小さい
- 過去にイトカワがコンタクトバイナリへと進化した時期は  
約40万年前